

喜茂別鑛石より低砒素焼結鐵製造

池野輝夫*・萩原友郎*

要　　旨

含砒鐵鑛石の代表鑛喜茂別鑛石の處理について基礎研究、中間試験、工業化試験の順に述べ喜茂別脱砒燒結工場の経過を明らかにした。

I. 緒　　言

北海道虻田郡喜茂別鑛山は昭和14年6月より昭和19年末まで、日鐵礦業株式會社の手に依り探掘され、其の間約20万噸の鑛石が室蘭製鐵所に送られた。開発當初の可探鑛量は約30万噸で、昭和24年ボーリング調査の結果殘可探鑛量約50万噸と増加し、山元貯鐵10万噸、當製鐵所埋立貯鐵10万噸と併せて計70万噸の鑛石がある。此の鑛石は北海道内代表鑛石の脇方鑛、徳舜曾鑛石より多く現在道内最大の銘柄と稱せられる。當鑛石の特色は褐鐵鑛石としては緻密にして粉鐵少く平均3%の砒素(他の鑛石の4~10倍)を含んでいる。砒素は鐵鋼の材質に悪い影響を與えることについては既に秋技氏¹⁾に依り詳しく述べられており、砒素を除く研究も盛んに行われたが工業化されることなく、當鑛山は戦後閉鎖され貯鐵石も又放置されていた。戦後國內資源の活用の要請に應じ、室蘭製鐵所は東京大學教授宗宮尙行氏の研究に就いて工業化試験を行い、其の結果日鐵礦業株式會社が山元に年産18000噸(燒結鍋3基稼動1基豫備)の工場を建設することになり、當製鐵所が其の建設を援助し昭和26年11月完成し以後今日迄試験操業を行つてゐる。筆者らは過去にあつて同教授の研究指導を受けてきた關係で過去の研究の要旨を紹介し又當所にて行つた工業化試験を中心に報告させていただく。

II. 基　　礦　　研　　究

Asを除く原理を知るために鑛石の物理、化學的性質を述べる。

a. 鑛石の化學、鑛物組成 同鑛石の化學分析の一例として第1表²⁾に示すごとく Fe_2O_3 分子率: H_2O (+)分子率の値は略2:3となり褐鐵鑛の代表的組成を示している。鑛石中のAsはW. Ruff, E. Scheil³⁾, W. Luyken, L. Heller⁴⁾, J. Klärding⁵⁾が報告しているよ

第1表

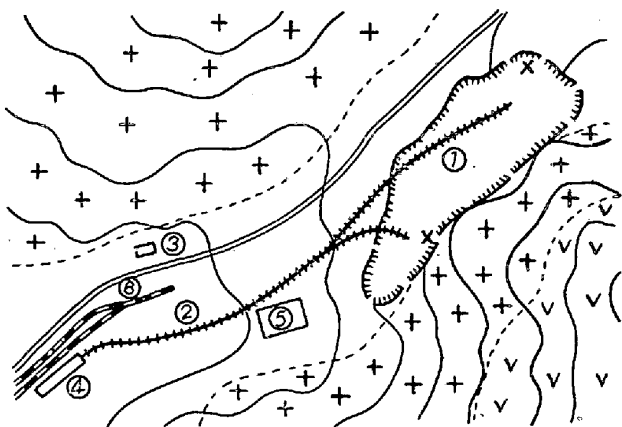
成 分	Fe_2O_3	$+\text{H}_2\text{O}$	SiO_2	Al_2O_3	CaO	MgO
重量(%)	79.44	14.26	0.57	0.29	0.73	0.10
分子(%)	36.16	57.50	0.69	0.20	0.95	0.19

成 分	TiO_2	As_2O_5	P_2O_5	SO_3	計
重量(%)	tr.	6.09	0.16	3.08	104.71
分子(%)	—	1.92	0.08	2.43	100.13

第2表 水酸化鐵のAs吸着量

温 度 ($^{\circ}\text{C}$)	0	20	40	80
吸 着 As %	8	6	3	1.8

うに同鑛石中のAsも砒酸鐵($\text{FeAsO}_2 \cdot 2\text{H}_2\text{O}$)⁶⁾鉱物と、鶴野達二氏の報告せられるように第2表⁸⁾に見られるごとく水酸化鐵に砒酸が吸着したものと2つの状態であると考えられる。前者の砒素鑛石は第1圖の鑛床切羽の3



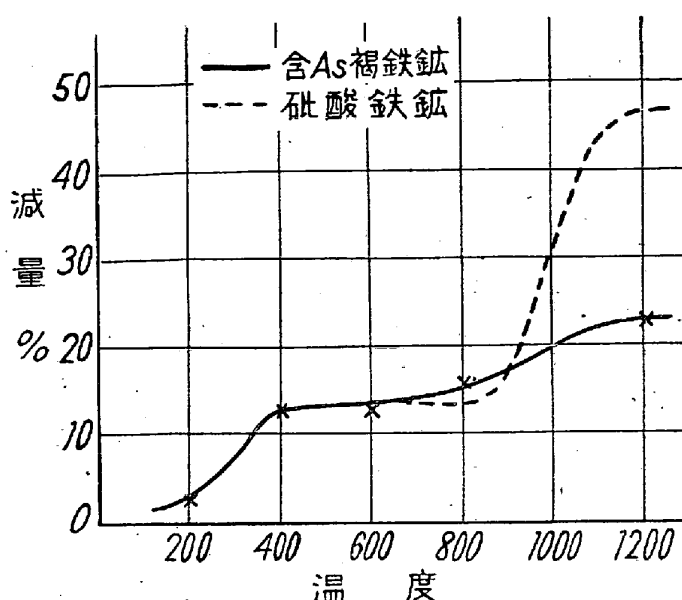
第1圖 鑛山平面圖

①鐵鑛床(X印砒酸鐵脈) ②鑛内運鐵線 ③鑛山事務所 ④貯鐵槽 ⑤燒結工場 ⑥鑛山専用鐵道

ヶ所に幅1~0.5mの鐵脈をなし判然と他の鑛石と見分けられ一般的の傾向として下盤に向い砒素の浸み込みが多い。後者と低砒素褐鐵鑛とはほとんど區別がつかず、顯微鏡下に砒酸鐵鉱物が見當らないのにAs 6%を示すものがある。それゆえAs 8%以上の鑛石は肉眼鑑定で切羽、貯鐵で取り除く事が出来るが、斯様な鑛石は金鑛量の10%に過ぎず、残りの大部分は平均約3%で手選だけでは砒素を効果的に除くことが出来ず、他の處理法によらねばならない。

b. 鑛石の加熱減量: 第1表の鑛石の粉末0.2gを白

* 富士製鐵、室蘭製鐵所



第2圖

金ルツボに入れ電氣爐で 700°C に長時間保ち恒量後徐々に温度を昇げると、その加熱減量は第2圖⁹⁾となる。

同様に砒酸鐵の減量を同圖中¹⁰⁾に示す： 900°C 附近より減量し始め、 980°C で明瞭になり、 $1000^{\circ}\text{C} \sim 1100^{\circ}\text{C}$ で

第3表

ガス種類	温度 °C	As%	Fe%	As%/Fe% × 100	脱As%
CO ₂ 100%	1000	0.67	61.5	1.09	83.9
	950	1.06	61.5	1.72	64.6
	897	3.98	61.5	6.47	4.4
	855	4.23	61.9	6.80	—
	800	4.13	61.0	6.77	0
CO 20%	1000	0.13	65.5	0.20	97.1
	950	0.76	65.5	1.16	82.9
	905	0.26	65.5	0.40	94.1
	850	0.37	65.7	0.56	91.7
	820	0.45	66.2	0.68	90.0
	805	0.70	66.1	1.06	84.3
CO ₂ 80%	620	1.70	65.1	2.61	61.4
	(x)				
	20	0.20	64.7	0.28	96.8
	15	0.23	69.2	0.33	95.1
	10	0.21			
	5	1000	0.29	70.4	0.42
CO ₂ + CO (200 - x)%	3	0.21	70.5	0.30	95.6
	1	1.12	68.0	1.65	75.7
	20	1.25	65.5	5.72	15.5
	15	0.99	66.5	1.49	78.0
	10	0.92	68.9	1.33	80.4
	5	1.27	66.1	1.92	71.6
CO ₂ + CO (700 - x)%	3	3.97	61.5	4.99	26.3
	20	1.89	—	—	—
	15	1.62	65.1	2.49	63.2
	10	2.03	67.1	3.03	55.2
	5	3.12	67.7	4.61	31.9
	3	3.94	68.9	5.72	15.5

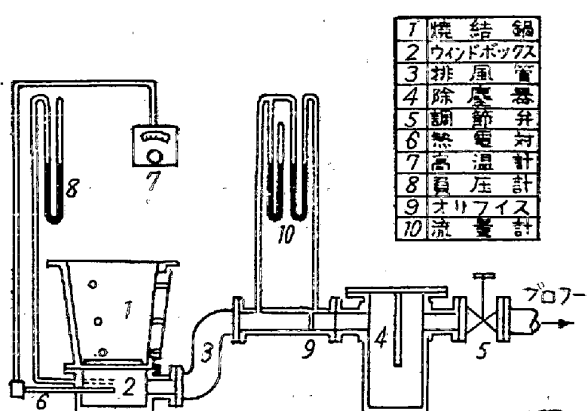
顯著になり、 1150°C 以後殆ど恒量となる。 $900 \sim 1200^{\circ}\text{C}$ の減量は 5.4% で第1表の化學分析値 As_2O_5 の値 6.09% と大體一致する。従つて第2圖の一般鑛石の加熱減量は鑛石中の砒酸鐵の熱分解か吸着砒酸の熱分解による減量曲線であることが同圖より考えられる。これは空氣中の加熱の場合であるが、加熱中の雰圍氣を種々に變えると第3表¹¹⁾のごとく低溫度で砒素が除かれるが山根新二氏¹²⁾の實驗の如く完全な還元性(CO)では還元性が強過ぎるため 700°C 以上になると酸化鐵は金屬鐵に迄還元し、それに又酸化砒素が金屬砒素に迄還元し、兩者が固熔されて砒素の除去は急激に悪くなる。従つて鑛石よりの加熱による砒素除去の條件は E. Scheil¹³⁾の言明するごとく鑛石を高溫加熱して「鑛石を金屬にまで還元しない程度」の CO との混合ガスを接觸すれば 90% 以上の高脫砒率が得られる。然し此の脱砒條件の試料は粉末であり又加熱時間 4~1hr を要する事は工業的な處理熱として 1200°C 以上の高溫を要する。

III. 15kg G式燒結試驗

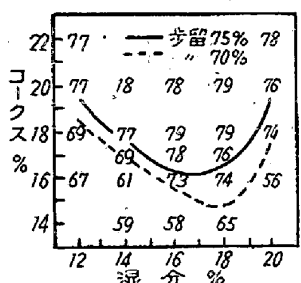
熔鑛爐で砒素を除く事が困難である事は基礎研究中の「金屬鐵に金屬砒素が固熔され容易い」という事實から推測できるが實際に熔鑛爐に投ぜられた鑛石の砒素は 94% 銑鐵中に入るという實驗報告¹⁴⁾もあり、又 A. Wagner¹⁵⁾, W. Ruff¹⁶⁾, W. Luyken¹⁷⁾, V. M. Goldschmid-C. Petters¹⁸⁾, Durrer¹⁹⁾, 鵜野達二²⁰⁾ 各氏も熔鑛爐による脱砒の困難性を指摘している。銑鐵精鍊による熔銑中の脱砒に關しては Pattion, Stead²¹⁾, P.E.McKinney²²⁾, W. Ruff²³⁾, W. Luyken²⁴⁾, W. Houdremont²⁵⁾, 鵜野各氏に依り否定され鵜野氏の言葉をかりるなら「Asは Fe よりも貴なる金屬であるから銑鐵中の砒素は酸化製鍊によつても除き得ず、むしろ鐵の損失によつて濃縮される」。然し V. V. Skorcherlette 及び A. I. Shultin²⁶⁾ は鐵に不溶な Ca_3As_2 を生成させて除去することを試み Ca, Si-Ca 合金, CaC を As 分 0.18% の熔銑に加えて最高脱砒率 55.5% を得たと報告している。其れ故斯様に一旦熔鑛爐に入つた砒素の大部分は現今の銑鐵一貫作業工場設備では容易に除き難い結果となるので熔鑛爐に裝入される以前に燒結、焙燒に依つて砒素を除かねばならない。そこで當鑛石の燒結機構、脱砒機構が 15kg G式燒結試驗鍋を用いて宗宮氏²⁷⁾に依り調べられた。

a. 當鑛石の燒結性

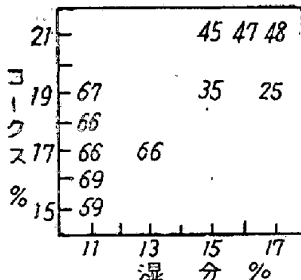
第3圖に示す小型 15kg G式燒結試驗機により脇方鑛石、喜茂別鑛石の燒結比較試験を行つた。其の結果 +1/2" 烧結成品歩留と配合濕分、コークス比との關係は第4圖



第3圖 試験焼結機



第4圖 鋼方鑛石單味燒結

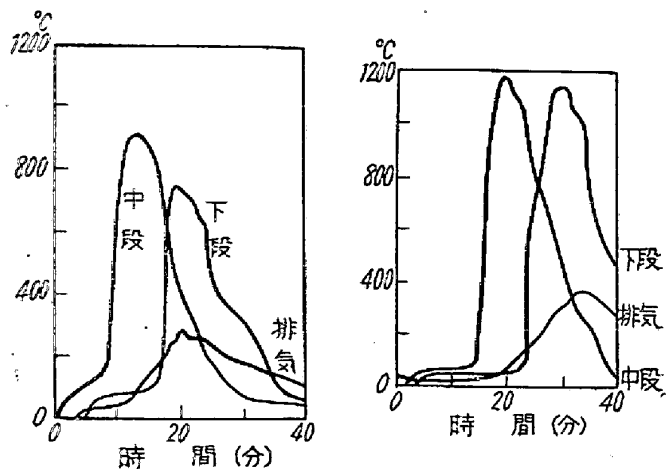


第5圖 喜茂別鑛石單味燒結

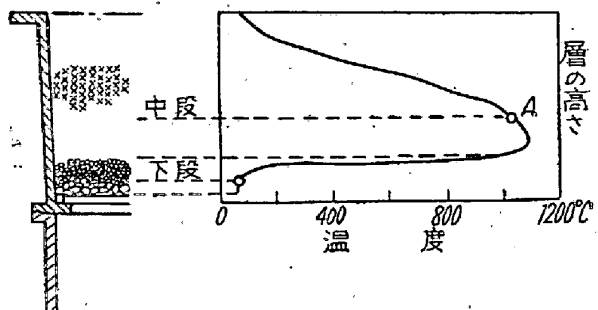
第5圖の如くであつた。脇方單味の燒結鑛の適當な濕分は16%であるのに對して喜茂別單味の場合には11~13%附近で著しく低く又此の場合の歩留はコーケスを19%の多量を使用して尙60%で脇方鑛の75%より低く良く燒結しない。兩鑛石の性質のうち顯著な差があるものは脇方鑛石(As 0.7%)に對し喜茂別鑛の砒素の含有量の差である。従つて燒結性の難易はAs%の寡多に應ずるものと考えられ、更に燒結中の脱砒機構が調べられた。

b. 燃結性と脱 As 機構

同鑛石粉鑛を燒結した場合、燒結鍋の中段、下段の溫度並びに排氣の溫度が、時間と共に如何に變化するか、その狀態を第6圖に示している。第6圖のAなる時刻の鍋中の溫度分布及び燒結狀態を想像すれば第7圖のごとくで、コーケスが盛んに燃焼し鑛石が高溫となつてゐる

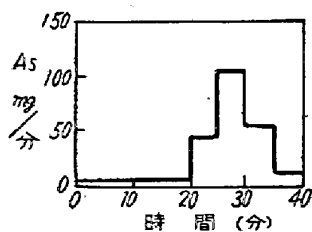


第6圖



第7圖

個所は比較的薄い厚さの平面形で、これを燒結帶と稱するが、鑛石は一般に燒結帶が到達する前までは常溫に近く從つて燒結帶と未燃燒鑛石層とは隣接し合い、豫熱層の如きものは存在しないと言つてよい程極く僅かである。そしてAsはこの燒結帶に於て揮發するから、Asの揮發は點火と共に上層の鑛石から始まり、燒結帶が下降するにつれて順次その部分のAsが揮發する。然るに排氣中のAsを定量すると第8圖に示す如く、點火後しば



第8圖

らくは極く少量のAsしか存在せず、或る時刻になると急に増加し極大値を示して又減少する。これを解釋するに、上方の燒結帶にて揮發せる無水As₂O₃は冷い空氣或いは下段の帶水未燃燒鑛石層に觸れて微粒白煙となり、未燃燒鑛石層に沈しおられる。しかし、この濾された無水As₂O₃は燃燒帶が下降するにつれて漸次昇華し

又凝縮して下方に追いやられる。焼結帶が最下層に到着して始めてことごとく煙道に揮發する。宗宮教授の此の解釋によれば、喜茂別鑛石の多量の As は帶水層に濃縮して通氣の均一性を阻害することになり、これは喜茂別鑛の焼結の際屢々起る片焼け現象をよく説明しうる。又砒酸鐵の結晶は焼結に際し吸熱分解を行うため多量の燃料を必要とするので脇方鑛石に比べて燃料比が高い事も理解される。以上の見解より同鑛石の處理法に關しては同教授より次の方法が提案された。即ち「焼結一燒結法」、「焙燒一燒結法」の如く鑛石處理法の繰返し又は組合せにより現行の D 式或は G 式より更に鑛石に多量の熱エネルギーを與えて處理する方法である。

IV. 仲町 D 式による工場試験

前項の見解に従い繰返し燒結試験が室蘭製鐵所仲町 D 式燒結機により行われた。その結果は第 4 表の如く良好

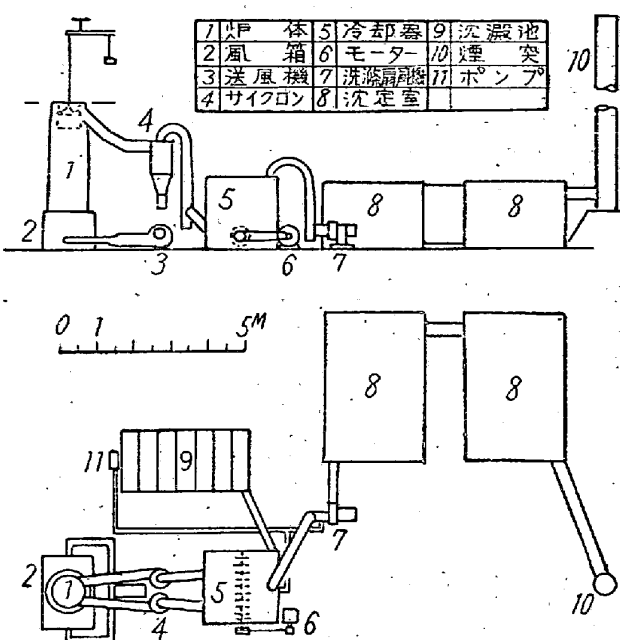
第 4 表

	第 1 次 燃 結				第 2 次 燃 結		
	原 鑛	配 合 原 料	燒 結 鑛	返 燒 鑛	燒 結 鑛 平 均	成 品	未 燃 結 鑛
As%	2.84	1.75	0.25	1.32	0.65~ 0.70	0.08	0.6~ 0.9
第一次燒結成品歩留				20%			
同 上 成品脫砒率				83.0%			

な脱 As 成績を収めた。此の試験に脱 As の方策の一つが見出されたが、經濟的事情並びに設備上の問題で永続的に実施せられなかつた。

V. 堅型 1t 試験爐による中間試験

褐鐵鑛の熱的性質の特質として平川氏²⁸⁾の熱間耐壓試験の報告に示されるように褐鐵鑛は 700~800°C で結晶水を失い、同時に粉化する。喜茂別鑛石は前以てクラッシャーにより粉碎されなくとも熱的性質を利用するならば自然粉化する。この事實と前述せるやうに脱 As 條件として揮發する As_2O_3 が通氣を害されないような通氣度が必要であるのでわざわざ粉碎することなしに、塊鑛で燒結脱 As 出来るはずである。従つて前述した「焙燒一燒結」による處理方法について鑛石を塊状にし通氣を良好にするだけで焙燒層を厚くし一つの爐内に於て焙燒過程と燒結過程を同時に行はせるように第 9 圖のごとき構造配置の 1 炉堅爐式燒結プラントを昭和 23 年日鐵鑛業脇方鑛山に建設し、同社と日鐵が宗宮教授等の指導の下に協同研究を行つた²⁹⁾。當爐の特徴は塊鑛石、中小粉



第 9 圖 脫砒試験装置 (脇方)

コークスを用いるため通氣が良好の代りに熱効率が悪いので、それを改善する意味もあつて、ポット式燒結機を更に深くし、排ガス中の As_2O_3 を捕捉するためと、グレートの下部より行う點火作業を助けるため吸氣機に依り爐頂ガスを負圧にした。

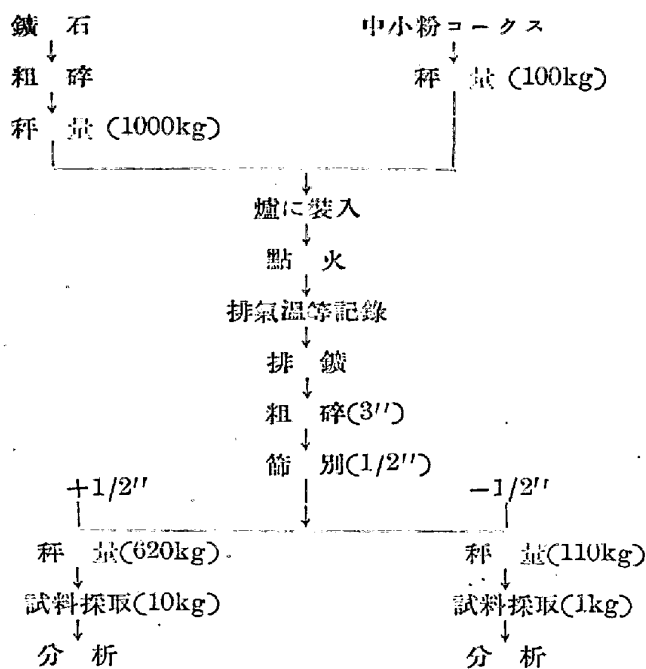
a. 試験装置：試験装置の主要機械、主要設備を第 5 表に示す。

第 5 表 主要機械設備

機械設備	性 能	備 考
燒 結 爐	上端徑 0.7m 下端徑 0.8m 火格子面積 深 さ 有効容積	シャモツト耐火煉瓦にて半枚の Lining
風 面	高 1.5m × 2m × 2m	前扉兩開き
冷 却 室	2m × 2m × 2m 迴轉板徑 0.5m " 枚數 10 板	10HP. 220V. で迴轉板に 300 R.P.m の迴轉を與え遠心力で飛沫を作る。
サイクロン		ドラム罐改造
沈 定 量	2m × 3m × 4m(2 個)	木製
沈 澱 池	2m × 4m × 1m	木製
送 風 機	5HP	シロツコ
吸 氣 機	1HP	シロツコ

b. 試験操作：試験操作の作業系統圖を第 10 圖に示

第 10 圖



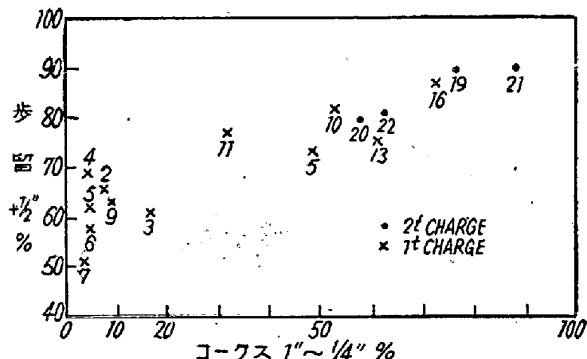
す。なお装入、點火、排鑛の要領は、點火用薪を爐頂より投下後鑛石、コークスを續いて装入し爐頂蓋を閉じて吸氣を行う。次いで風面を開きグレートの下部より點火し、直後風面の扉を閉じて送風を行う。焼結完了後風面

第 6 表

試験番号	原料鑛石粒度分布%					備考
	6"	5"	4"	2" 1/2" ~ 1"	+1/2" %	
027	15	—	—	85	79	
030	52	—	—	48	53	
031	—	41	—	59	75	
028			12	88	79	
029			43	57	77	手装入
032			40	60	77	ベル装入
035	クラッシャー排鑛口			81	點火剤石炭アリ	
101	開き 3" 1/2"			81	〃	
116				82	石炭ナシ	
111	クラッシャー排鑛口			83	石炭アリ	
112	開き 2" 1/2"			85.6	〃	
113				81	〃	
114				87	石炭ナシ	
115				87	〃	

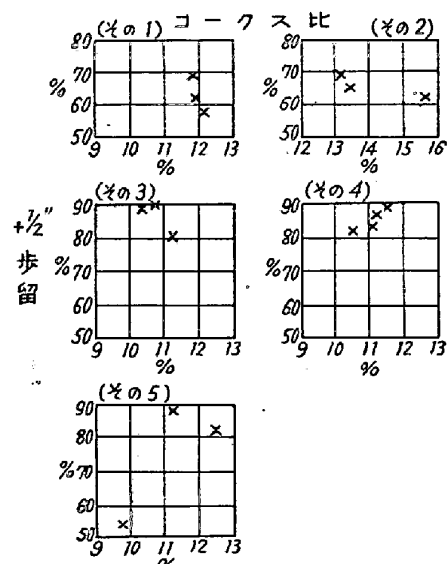
の前扉を開き、グレートの支柱を外して一氣に爐内焼結物を落させしめて、成品全量を供試料とする。

c. 試験結果：鑛石粒度と +1/2" 成品歩留との関係を示す。第 6 表の如く鑛石粒度が 3" 1/2" ~ 2" 1/2" の場合に +1/2" 成品歩留が最高値を示している。又配合燃料コークスに該當する 1" ~ 1/2" の占むる粒度が 30% 以



第 11 圖

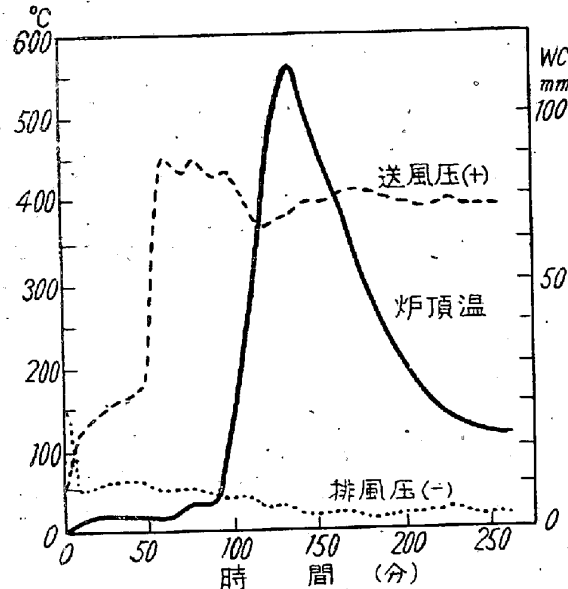
上あるようなコークスの場合にやはり +1/2" 成品歩留が高い。この事實は鑛石より熱分解された As_2O_3 が未燃焼鑛石層に附着して通氣を阻害する以上に通氣性が良好で配合燃料の燃焼を可能ならしむるものと考えられる。又配合コークス比は第 12 圖に示すように適當な範



第 12 圖

図 (10~11%) 内で +1/2" 成品歩留が最高値を示している。配合コークスが 10% 以下になると熱量が不足するため急激に +1/2" 成品歩留が低下し、粉鑛の生成量が多くなる。これに反し 13% 以上になると鑛石は焼結状態を通り越し熔融し、そのため通氣が阻害され片焼け焼け残りコークスが見出されることにより +1/2" 成品歩留が低下するものゝようである。此のコークスの燃

燒に與かる空氣は上向強制通風のため、燒結帶、燃燒帶においてゲーデ圧力(+)になり火廻りよく下向通風の如く通氣の良好な個所を選択燃燒して孔が開く様な事が少い。この事實は又排氣溫の時間と共に變化する狀態を第13圖に示すように、燃燒帶はある厚さを持つて上方



第13圖

に移動し、裝入物の最上層が燃燒するに至ると排氣溫は急激に極大値を示し、後徐々に下降する。此の極大値を示す回数は通常一鍋の燒結に際し唯一回示し、均一な燒結狀態を物語ついている。以上の如く燒結による脱Asの根本條件である「裝入鑄石を均一に高溫に加熱」する事が出来るならば、排鑄全量の脱As率も又良好のはずである。燒結鑄石中のAsを示す第7表より $-1/2''$ 燃燒帶は As% が一般に高く、その値の變動の大きい事も解る。これは鑄石が焼け不足で結晶水が脱水され粉化される溫度 800°C に加熱されて脱Asに必要な 1200°C に達せず原鑄に近い値を示しているものと考えられる。

$+1/2''$ 燃燒帶は良く焼かれたものであり、一般に As% 低く 0.5% 以下になつてゐる。従つて $+1/2''$ 燃燒帶の生成量が多いことが全脱As率を高めることであり、前述せるように $+1/2''$ 成品歩留の高値が得られたことより原理的には焙燒に續いて燒結され脱Asの目的が達せられたものと考えられる。しかしこの爐型を直ちに工業爐とすることは以下の理由で採用出来ない。即ち爐内溫度を光高溫計を用いて測溫した結果、定性的ではあるが爐の中心部は部分的に $1300\sim1400^{\circ}\text{C}$ に達し、脱Asされた熔融酸化鐵が下方あるいは側壁に流れ、側壁とシヤモット耐火煉瓦と反應し固着すると同時に、屢々燒結鑄は大塊となり排鑄が困難となる。

第7表

試験番號	歩留 $+1/2''\%$	原 鑄 As%	燒結鑄 As %		
			$+1/2''$	$-1/2''$	平 均
002	65	3.0	0.173	1.05	0.48
003	61		0.203	1.143	0.68
004	69		0.120	1.076	0.42
005	62		0.135	1.102	0.50
006	58		0.098	1.365	0.63
010	82		0.243	0.884	0.36
011	76		0.515	1.354	0.72
012	89		0.205	0.890	0.28
013	75		0.36	0.142	0.73
014	53		0.42	0.203	1.18
015	73	3.8	0.38	0.185	0.78
016	87		0.21	0.106	0.32
017	62		0.46	0.089	1.02
019	89		0.09	0.062	0.15
021	89		0.35	0.122	0.45
023	92		12.4	0.60	0.70

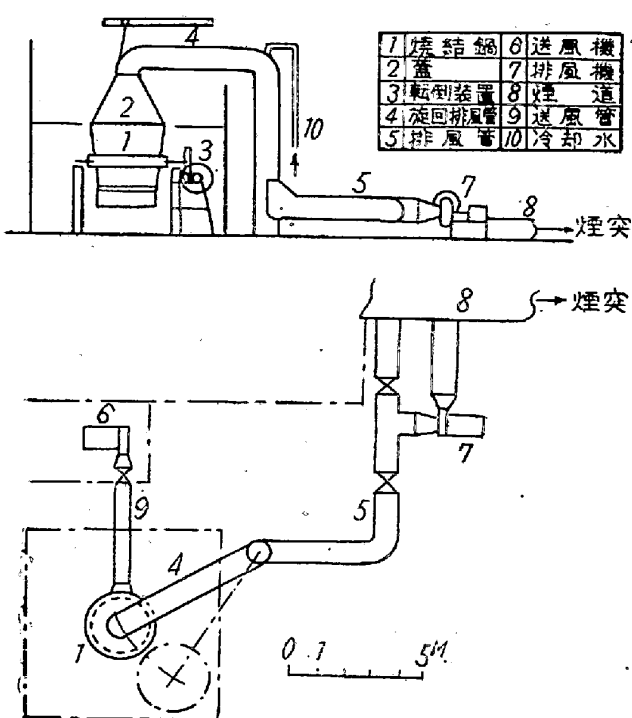
VI. 8t 爐に依る試験

次いで試作された8t爐の容量は大きすぎず又小規模になり過ぎぬ様當鑄石の處理計畫より算出されたものである。

a. 試験装置：當所仲町燒結工場に第14圖に示す試験装置を建設した。その主要機械、設備を第8表に示す。前述せる1t爐と比較し大差のある所は、鍋の有效容積が 1.5m^3 より 8m^3 に増加し、爐壁の傾斜が1t爐の時は逆に爐頂に廣くグレートに向つて狭くなつてゐる。爐壁のライニングは鑄鐵を用い、 135° 廻轉して爐頂より排鑄する。

b. 試験操作：試験作業系統圖を第9表に示す。原料の裝入、點火、排鑄作業の要領は1t爐試験の場合と同様で爐頂の排氣溫が 200°C を示した時、爐内の燃燒は殆ど完了するので、爐蓋を取除き爐を廻轉して排鑄する。

c. 試験結果：1t爐試験の際適當な燒結條件が示されているので大體これに添い試験項目を狭め配合中小粉



第 14 圖



写真 1 8t 試験爐

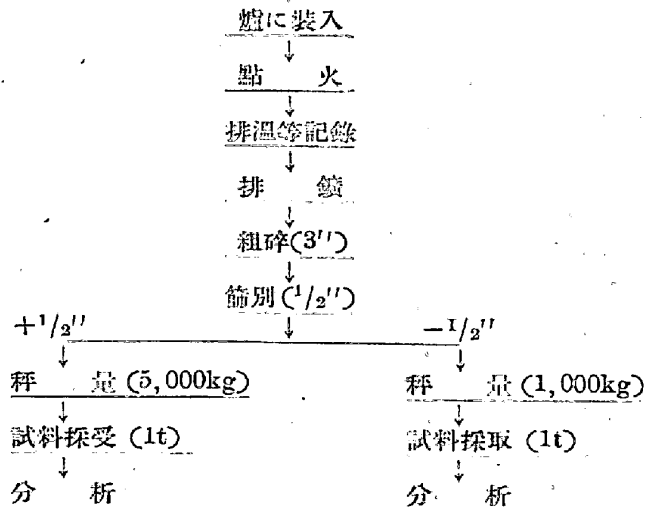
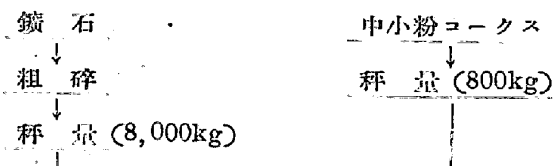
コークスを 10% に定め、鐵石粒度を 3" 及び 2" 以下の二種類について燒結狀況(燒結時間、排氣溫、送風壓)、燒結成品の粉塊の割合並びに品位について試験を行つた。試験結果を第 10 表に示す。又時間の變化と共に變る爐頂溫、送風壓、排氣壓、排氣中の As_2O_3 の量の狀況を第 15 図に示す。以上の結果を總括して 1t 爐の試験結果と比較して見ると第 11 表に示す様に大體同様の成績を示している。

排鐵の問題は内張り鐵鐵ライニングの張り合せが試験

第 8 表

機械設備名	性 能	備 考
燒結鍋	上端徑 2.540m 火格子底面徑 1.940m 深さ 2.300m 有効容積 8m ³	Lining 厚さ 30mm の錫鐵にして特別な空冷構造をなす
送風機	風量 100m ³ /min 風壓 400mm(W. C) 電動機 200V 20KW R. P. M. 1955	ダーボ プロワー
排風機	送風機に同じ	
クラッシャー	電動機 10HP	Opening 3" ~ 2"
ウインチ		1t 鐵石捲上げ用

第 9 表



回数の増すに従い隙間が増し、その空隙を燃焼焰がショートパスするために一部分離けて燒結鐵がライニングのスケールと反応固着し排鐵に思はぬ困難を伴う。従つてライニングの張り合せを検討し、更に強制冷風に依リライニングの冷却効果を大にする必要がある。その他の結果については試験回数が僅か 20 回足らずで更に向上改良する餘地があると考えられるが 8 炉に擴張しても良い成績が得られるものと結論した。

VII. 喜茂別工場の設計

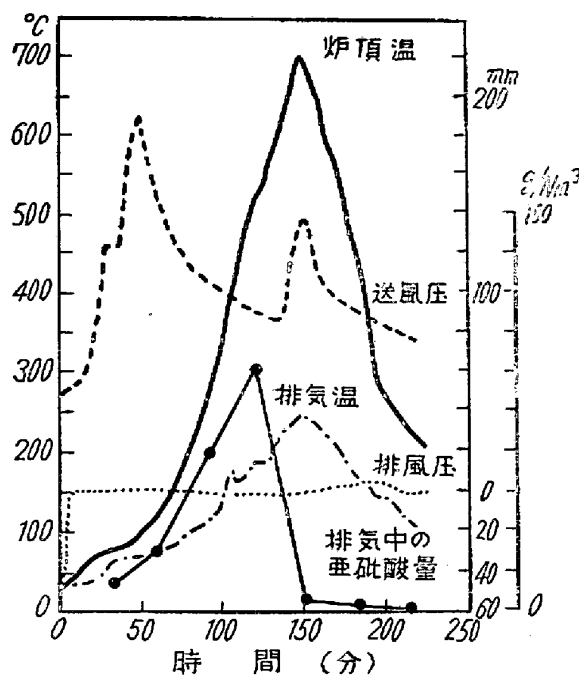
以上(1~6)の研究、試験に基き第 16 図に示す脱硫燒結爐 4 基並びに排ガス中の亞硫酸捕集設備を設計した。

第10表 8t爐に依る試験成績

1) 最高排氣温時の鍋頂壓 2) 全燒結鐵 3) + $\frac{1}{2}$ " 燃結鐵 4) - $\frac{1}{2}$ " 燃結鐵

試験番號 No.	コークス比 %	鐵石粒度 in	焼結時間 時 分	最高 排氣溫 °C	最高 送風壓 mm WC	排氣壓 ^a mm WC	原 鐵 品 位 (%)				
							T.Fe	FeO	SiO ₂	As	S
5	10	3	4.35	665	148	0	—	—	—	—	—
6	10	3	5.15	540	120	+5	—	—	—	—	—
7	10	3	4.25	620	100	+2	54.82	1.30	3.64	2.55	0.37
8	10	3	4.55	510	126	+5	51.95	1.11	5.32	2.64	0.41
9	10	3	4.19	429	125	+2	52.32	0.96	4.16	2.24	0.37
10	10	3	4.35	512	106	+6	52.70	0.83	3.56	2.33	0.35
11	10	3	4.30	528	170	+6	52.32	1.37	4.22	2.22	0.32
平均	10	3	4.39	543	128	+4	52.82	1.12	4.18	2.54	0.36
12	10	2	4.00	480	100	-3	53.07	1.72	4.46	2.75	0.33
13	10	2	3.40	570	157	0	54.25	1.03	3.30	2.28	0.37
14	10	2	3.45	590	198	-5	54.25	1.20	4.50	4.48	0.42
15	10	2	3.55	530	148	-6	54.05	1.38	4.42	2.53	0.35
16	10	2	4.00	590	155	-3	53.50	1.17	5.52	2.72	0.39
17	10	2	3.45	725	185	-2	53.77	0.83	6.32	2.81	0.50
18	10	2	3.35	670	168	-2	54.84	0.76	5.52	2.90	0.53
平均	10	2	3.40	593	159	-3	53.96	1.12	4.86	2.63	0.41

試験番號 No.	燒結鐵品位								As/T.Fe	脱砒率	脱硫率
	區分	發生率	T.Fe	FeO	SiO ₂	As	S	As/T.Fe			
5	全 ²	—	64.14%	43.48%	7.64%	0.49%	0.073%	0.008	—%	—%	—%
6	全	—	62.42	32.38	6.96	0.97	0.191	0.015	—	—	—
7	全	—	64.14	23.13	6.04	0.72	0.092	0.011	76.6	80.0	82.5
8	全	—	59.49	13.42	11.40	0.99	0.085	0.017	66.0	70.0	70.0
9	全	—	64.04	18.23	5.16	1.05	0.137	0.016	63.0	68.0	57.2
10	全	—	64.68	23.04	5.82	0.85	0.197	0.013	70.5	53.4	68.6
11	全	—	64.47	18.57	6.84	1.14	0.186	0.018	68.0	84.5	87.5
平均	全	—	63.36	19.27	6.85	0.95	0.139	0.015	68.8	84.6	87.5
12	十一 ³	75	65.11	28.55	5.68	0.62	0.06	0.009	82.7	85.0	83.4
	— ⁴	25	64.09	13.59	4.66	0.87	0.06	0.014	73.1	80.3	84.6
	全	—	64.85	24.81	5.42	0.68	0.061	0.011	—	—	—
13	十一	80	66.55	34.57	5.00	0.41	0.06	0.006	84.8	87.2	81.5
	20	—	63.88	9.29	4.24	0.68	0.08	0.011	73.9	82.6	86.6
	全	—	66.02	29.51	4.85	0.47	0.067	0.007	82.6	84.5	87.5
14	十一	80	66.43	38.01	6.04	0.46	0.06	0.007	84.5	72.5	72.5
	20	—	64.68	11.70	4.48	0.97	0.14	0.015	66.7	80.9	84.5
	全	—	66.08	32.75	5.73	0.56	0.084	0.008	—	—	—
15	十一	75	65.54	39.39	5.20	0.63	0.08	0.009	80.9	85.0	72.5
	25	—	63.67	9.31	4.04	1.04	0.14	0.016	66.0	80.3	81.9
	全	—	65.08	31.87	4.79	0.74	0.097	0.010	—	—	—
16	十一	80	65.67	43.52	5.12	0.48	0.06	0.007	86.0	85.8	74.0
	20	—	64.20	9.12	3.64	0.87	0.15	0.013	74.0	83.6	82.1
	全	—	65.38	37.10	4.82	0.56	0.083	0.008	—	—	—
17	十一	80	65.54	34.57	4.98	0.57	0.07	0.009	82.7	87.8	77.8
	20	—	64.87	9.80	3.90	0.98	0.13	0.015	71.2	80.4	85.8
	全	—	65.41	29.02	4.76	0.65	0.087	0.010	—	—	—
18	十一	80	67.41	35.79	4.32	0.41	0.06	0.006	88.5	91.0	87.0
	20	—	65.27	8.08	4.20	0.85	0.09	0.013	75.0	85.8	90.2
	全	—	66.98	30.25	4.30	0.50	0.066	0.007	—	—	—
平均	十一	78.6	66.03	36.34	5.16	0.51	0.06	0.007	84.3	87.0	85.0
	全	21.4	64.38	10.12	4.16	0.89	0.11	0.014	71.4	77.4	—
	—	—	65.70	30.76	4.95	0.59	0.073	0.008	81.9	—	—

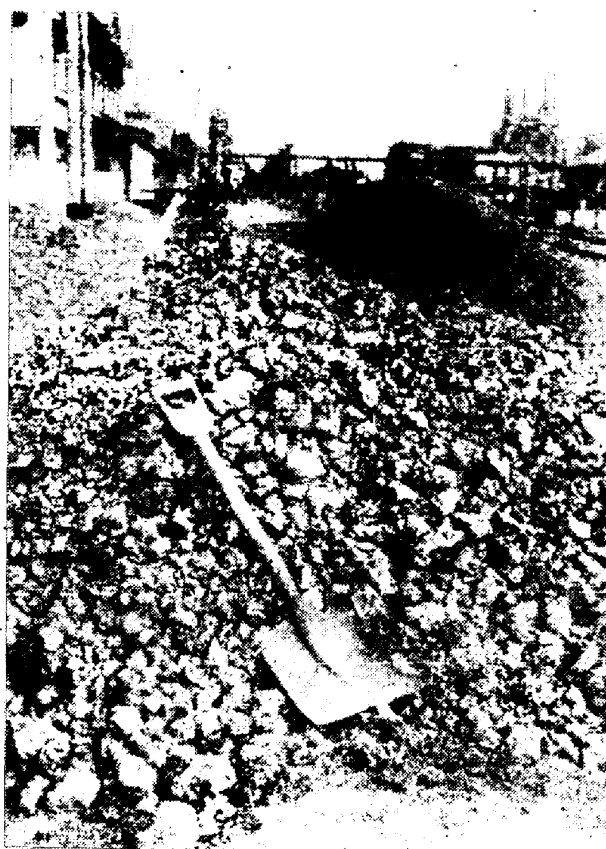


第 15 圖

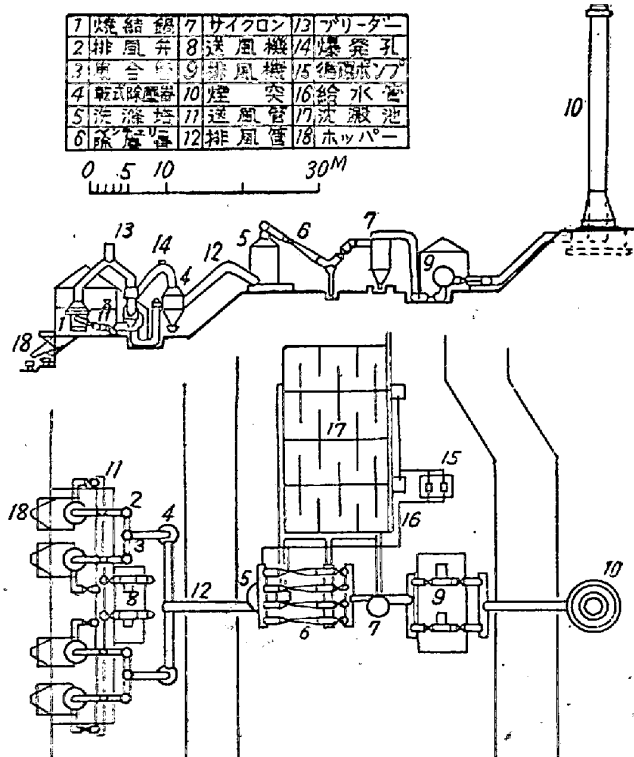
第 11 表

	1 t 爐	8 t 爐	備 考
鑛石粒度	3"又は2"適	2" 適	
使用燃料	鑛石(乾)に 對10%	鑛石(濕)に 對10%	
送風量 (Grate における風速)	0.5m/sec	0.5m/sec	
操業時間	3時間40分	3時間48分	點火より排 鑛時迄
排鑛所要時間	30分～5時間	2分～2時間	
排 気 溫	556°C	593°C	maxの平均
+1/2" 烧結鐵 歩 留	80%	78%	全燒結鐵に對
+1/2" 烧結鐵 T.Fe	60～68%	66%	
-1/2" "	55～60%	65%	
+1/2" - As	0.1～0.5%	0.5%	脱砒率84%
-1/2" "	1.1%前後	0.6%	

このプラントは年産1800t(3基稼動1基稼備)の焼結鐵と約750tの亞砒酸を捕集出来る様に設計されている。



寫真 2 成 品



第 16 圖 喜茂別鉱山焼結工場

亞砒酸の捕集装置は湿式ペンチュリー型を用いた³⁰⁾。當所に納入された成品の1ヶ月の平均分析の一例を示すと以下の様になる。

$-H_2O$	T.Fe	SiO_2	Mn	P	S
0.86	65.02	5.55	0.099	0.142	0.021
As	C.W.	Cu	FeO	越數	
0.512	0.10	0.0012	37.20	779 t	

現在鍋のライニング並に鑛石破碎設備等を完備しつゝあるので初期の生産量は出ていないが品質は試験結果と同等なものが得られる事が判る。

VIII. 結語

- a) 基礎研究の結果、褐鐵鑛中の砒素は主に砒酸鐵鑛として入っており、これは $1200^{\circ}C$ で As_2O_3 となつて分離する。
- b) 鑛石中の砒素は熔鑛爐に入る前に除く事が妥當で、燒結機構と脱砒機構との関連について調べた結果、燒結により分離された As_2O_3 が微妙な通氣の均一性を亂し、又從來の方法では加熱時間が不足のため充分に脱砒された燒結鑛を能率よく製造することが困難であることがわかつた。
- c) 従つて小塊鑛石、中小粉ヨークスを原料とする通氣性の良好なしかも裝入層の深い爐に依る燒結法を考え 1 越試験爐により As 3% の原鑛より 0.3% の +1/2" 烧結鑛を全排鑛の 80% 歩留で得られる事が明らかになつた。
- d) 以上の宗宮教授の研究を工業化する事を考え、新しい爐の型と機構とを考え 8 越(原鑛)爐を試作し、これについて試験を行い、種々の缺點を見出し改良の資料を得た。
- e) 最良と考えられる處理爐 4 基並びに亞砒酸ダスト捕集装置を設計した。
- f) 工業試験の結果成品品位は豫定の値が得られた。
- g) 生産量は現在の所、綜合的に設備が未完の爲、豫定生産量の約 $2/3$ である。(昭和 27 年 12 月寄稿)

参考文献

- 1) 秋哲哲兒: 技術會誌 4(昭 26), 3

- 2) 宗宮尚行: 日鐵技研報告, I(昭 20), 2
- 3) Stahl u. Eisen 52 (1932), 1193
- 4) Arch. Eisenhüttenw., 11 (1938), 475
- 5) Arch. Eisenhüttenw., 14 (1941), 473
- 6) 湯秀雄: 地質學雜誌 3 (昭 25)
- 7) 鵜野達二: 鐵と鋼 34 (1948), 1
- 8) G. Lockemann: Z. Angew. Chem., 35, 357
- 9) 宗宮尚行: 前出
- 10) 宗宮尚行: 鐵鋼協會講演會發表, 1947—4,
- 11) 宗宮尚行: 前出
- 12) 山根新二: 日鐵技研報, 昭 20
- 13) F. Scheil: Stahl u. Eisen, 34 (1914) 1694
- 14) Pattion, Steed: Stahl u. Eisen 8 (1888), 537
- 15) A. Kagner: Stahl u. Eisen, 47 (1927), 613
- 16) W. Ruff: 前出
- 17) W. Luyken: Arch. Eisenhüttenw., 11 (1938), 475
- 18) V. M. Goldschmid-Petters: Nach Göttingen Ges., [2], I, III (1934~35), 11
- 19) Durrer: Die Metallurgie des Eisen (1942)
- 20) 鵜野達二: 前出
- 21) Pattion, Stead: 前出
- 22) P. F. McKinney: Phys. Z., 35 (1934), 380
- 23) W. Ruff: 前出
- 24) W. Luyken: 前出
- 25) E. Houdremont: Tech. Mitt. Krupp. A., (1938), 102
- 26) A. I. Shultin: Arch. Eisenhüttenw., 10, 477
- 27) 宗宮尚行: 前出
- 28) 平川良彦: 銑鐵製造の研究(昭 22)
- 29) 宗宮尚行, 富永在寛, 池野輝夫: 日鐵技術部研究室報告(昭 24)
- 30) 山内仁, 檀原可人: 富士技報, 1 (1952) 43